



Modal SNA Sûreté aérienne

Felipe García

1 Introduction

- Modélisation
- Simulation

2 Résultats

- Monte Carlo naïve
- Importance Sampling
- Méthode de Splitting
- Trajectoires Croisées

3 Conclusion

Collision entre Avions

Sûreté
aérienne

Faits autour des avions :

80.000 vols par jour

Plusieurs risques

Collision entre Avions

Introduction

Modélisation

Simulation

Résultats

Conclusion



Collision entre Avions

Sûreté
aérienne

Introduction

Modélisation

Simulation

Résultats

Conclusion

Faits autour des avions :

80.000 vols par jour

Plusieurs risques

Collision entre Avions

Collision entre Avions

Sûreté
aérienne

Introduction

Modélisation

Simulation

Résultats

Conclusion

Faits autour des avions :

80.000 vols par jour

Plusieurs risques

Collision entre Avions

Route divisé en waypoints

Composante aléatoire : le vent

Processus stochastique $X_t = (X_{a,t}, X_{c,t})$

$$dX_t = v \, dt + \sigma_t \, dW_t$$

Route divisé en waypoints

Composante aléatoire : le vent

Processus stochastique $X_t = (X_{a,t}, X_{c,t})$

$$dX_t = v \, dt + \sigma_t \, dW_t$$

Route divisé en waypoints

Composante aléatoire : le vent

Processus stochastique $X_t = (X_{a,t}, X_{c,t})$

$$dX_t = v \, dt + \sigma_t \, dW_t$$

Modélisation aléatoire

$$\text{Cov}(X_{a,t}, X_{a,s}) = r_a^2 t^2$$

$$\text{Cov}(X_{c,t}, X_{c,s}) = \sigma_c^2 (1 - e^{-2 \frac{r_c}{\sigma_c} v(s-t)}) e^{-\frac{r_c}{\sigma_c} v(s-t)}$$

Connu comme processus d'Ornstein-Uhlenbeck

Le processus reste gaussien avec une rotation

Modélisation aléatoire

$$\mathbb{Cov}(X_{a,t}, X_{a,s}) = r_a^2 t^2$$

$$\mathbb{Cov}(X_{c,t}, X_{c,s}) = \sigma_c^2 (1 - e^{-2 \frac{rc}{\sigma_c} v(s-t)}) e^{-\frac{rc}{\sigma_c} v(s-t)}$$

Connu comme processus d'Ornstein-Uhlenbeck

Le processus reste gaussien avec une rotation

Modélisation aléatoire

$$\mathbb{C}\text{ov}(X_{a,t}, X_{a,s}) = r_a^2 t^2$$

$$\mathbb{C}\text{ov}(X_{c,t}, X_{c,s}) = \sigma_c^2 (1 - e^{-2 \frac{r_c}{\sigma_c} v(s-t)}) e^{-\frac{r_c}{\sigma_c} v(s-t)}$$

Connu comme processus d'Ornstein-Uhlenbeck

Le processus reste gaussien avec une rotation

Modélisation des trajectoires

Sûreté
aérienne

Introduction

Modélisation

Simulation

Résultats

Conclusion

Méthode de modélisation.

Trajectoires discrétisées

On simule la différence des trajectoires $U = X^{(1)} - X^{(2)}$

On modélise des trajectoires en parallèle et croisées

Méthode de modélisation.

Trajectoires discrétisées

On simule la différence des trajectoires $U = X^{(1)} - X^{(2)}$

On modélise des trajectoires en parallèle et croisées

Méthode de modélisation.

Trajectoires discrétisées

On simule la différence des trajectoires $U = X^{(1)} - X^{(2)}$

On modélise des trajectoires en parallèle et croisées

Estimer la probabilité de que la distance entre les avions soit inférieure à un seuil prédéfini ϵ .

$$\begin{aligned}\mathbb{P}\left(\exists i \mid \|X_i^{(1)} - X_i^{(2)}\|_2 \leq \epsilon\right) &= \mathbb{P}\left(\bigcup_{i=1}^d \|X_i^{(1)} - X_i^{(2)}\|_2 \leq \epsilon\right) \\ &= \mathbb{P}\left(\min_{1 \leq i \leq d} \|X_i^{(1)} - X_i^{(2)}\|_2 \leq \epsilon\right) \\ &= 1 - \mathbb{P}\left(\forall i \mid \|X_i^{(1)} - X_i^{(2)}\|_2 \leq \epsilon\right)\end{aligned}$$

Estimation avec les méthodes du cours

Vérification des résultats avec une méthode numérique

Exemple de trajectoire

Estimation avec les méthodes du cours

Vérification des résultats avec une méthode numérique

Exemple de trajectoire

Estimation des probabilités

Sûreté
aérienne

Introduction

Résultats

Monte Carlo naïve

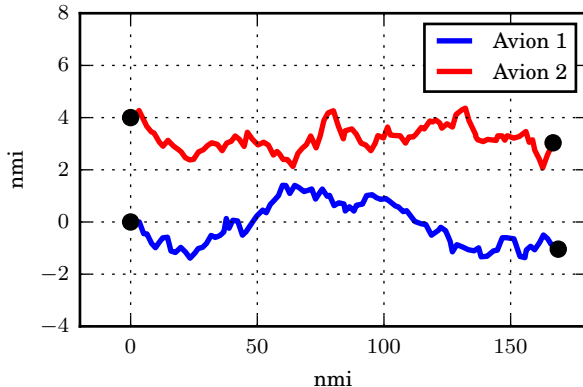
Importance Sampling

Méthode de Splitting

Trajectoires Croisées

Conclusion

Estimation avec les méthodes du cours
Vérification des résultats avec une méthode numérique
Exemple de trajectoire



Monte Carlo naïve

Sûreté
aérienne

Estimation de $\mathbb{E}[\phi(U)]$ avec $\phi(U) = \mathbb{I}\{\min_{1 \leq i \leq d} U_i \leq \epsilon\}$ et
 $U = X^{(1)} - X^{(2)}$.

Introduction

Résultats

Monte Carlo naïve

Importance Sampling

Méthode de Splitting

Trajectoires Croisées

Conclusion

Monte Carlo naïve

Sûreté
aérienne

Estimation de $\mathbb{E}[\phi(U)]$ avec $\phi(U) = \mathbb{I}\{\min_{1 \leq i \leq d} U_i \leq \epsilon\}$ et $U = X^{(1)} - X^{(2)}$.

Introduction

Résultats

Monte Carlo naïve

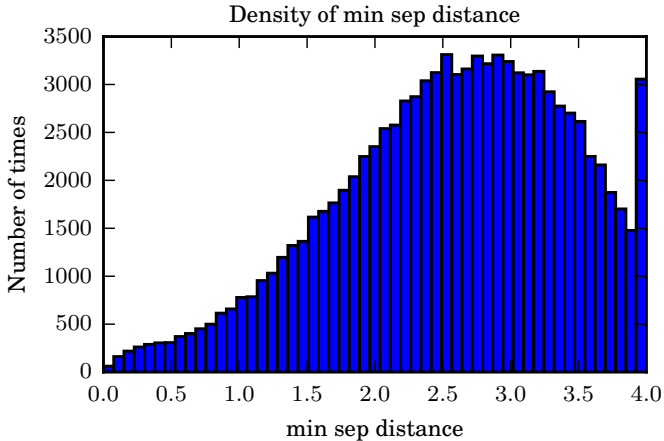
Importance Sampling

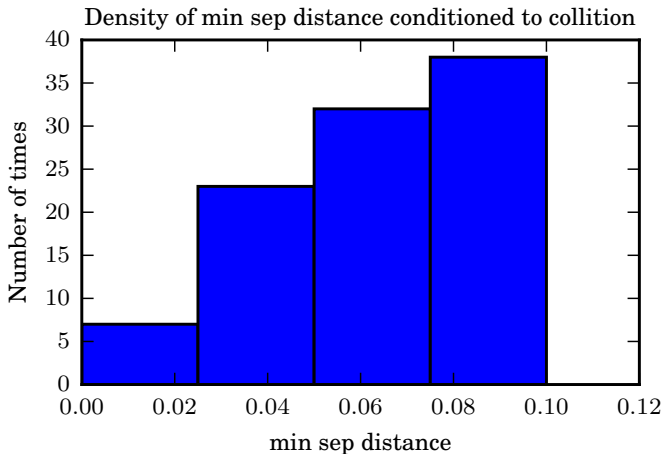
Méthode de Splitting

Trajectoires Croisées

Conclusion

Dist	Probability	Error	Rel Err	N
2.0	0.44000	9.70×10^{-2}	22.11%	100
2.0	0.38000	3.03×10^{-2}	07.91%	1000
2.0	0.39785	3.03×10^{-3}	00.76%	100000
4.0	0.04000	1.37×10^{-2}	96.01%	100
4.0	0.01300	8.46×10^{-3}	54.00%	1000
4.0	0.01984	8.75×10^{-4}	04.35%	100000
6.0	0.00011	7.33×10^{-5}	59.09%	100000





Implémentation du décentrage.

Faire un décentrage adapté au processus

$$\mathbb{E}(f(\mathbf{x})) = \mathbb{E}(f(\mathbf{x} + \boldsymbol{\theta})e^{L(\mathbf{x};\boldsymbol{\theta})})$$

$$L(\mathbf{x}; \boldsymbol{\theta}) = \exp \left\{ \boldsymbol{\theta}^T \Sigma^{-1}(\mathbf{x} - \boldsymbol{\mu}) - \frac{1}{2} \boldsymbol{\theta}^T \Sigma^{-1} \boldsymbol{\theta} \right\}$$

Normaliser le vecteur $\mathbf{x} = CC^T$

$$\mathbb{E}(f(\mathbf{x})) = \mathbb{E}(f(CG)) = \mathbb{E}(f(C(G + \boldsymbol{\theta}))e^{\boldsymbol{\theta} \cdot G - \frac{1}{2} \boldsymbol{\theta}^T \boldsymbol{\theta}})$$

Choix du $\boldsymbol{\theta}$

Méthode adaptative

Implémentation du décentrage.

Faire un décentrage adapté au processus

$$\mathbb{E}(f(\mathbf{x})) = \mathbb{E}(f(\mathbf{x} + \boldsymbol{\theta})e^{L(\mathbf{x};\boldsymbol{\theta})})$$

$$L(\mathbf{x}; \boldsymbol{\theta}) = \exp \left\{ \boldsymbol{\theta}^T \Sigma^{-1}(\mathbf{x} - \boldsymbol{\mu}) - \frac{1}{2} \boldsymbol{\theta}^T \Sigma^{-1} \boldsymbol{\theta} \right\}$$

Normaliser le vecteur $\mathbf{x} = CC^T$

$$\mathbb{E}(f(\mathbf{x})) = \mathbb{E}(f(CG)) = \mathbb{E}(f(C(G + \boldsymbol{\theta}))e^{\boldsymbol{\theta} \cdot G - \frac{1}{2} \boldsymbol{\theta}^T \boldsymbol{\theta}})$$

Choix du $\boldsymbol{\theta}$

Méthode adaptative

Implémentation du décentrage.

Faire un décentrage adapté au processus

$$\mathbb{E}(f(\mathbf{x})) = \mathbb{E}(f(\mathbf{x} + \boldsymbol{\theta})e^{L(\mathbf{x};\boldsymbol{\theta})})$$

$$L(\mathbf{x}; \boldsymbol{\theta}) = \exp \left\{ \boldsymbol{\theta}^T \Sigma^{-1}(\mathbf{x} - \boldsymbol{\mu}) - \frac{1}{2} \boldsymbol{\theta}^T \Sigma^{-1} \boldsymbol{\theta} \right\}$$

Normaliser le vecteur $\mathbf{x} = CC^T$

$$\mathbb{E}(f(\mathbf{x})) = \mathbb{E}(f(CG)) = \mathbb{E}(f(C(G + \boldsymbol{\theta}))e^{\boldsymbol{\theta} \cdot G - \frac{1}{2} \boldsymbol{\theta}^T \boldsymbol{\theta}})$$

Choix du $\boldsymbol{\theta}$

Méthode adaptative

Implémentation du décentrage.

Faire un décentrage adapté au processus

$$\mathbb{E}(f(\mathbf{x})) = \mathbb{E}(f(\mathbf{x} + \boldsymbol{\theta})e^{L(\mathbf{x};\boldsymbol{\theta})})$$

$$L(\mathbf{x}; \boldsymbol{\theta}) = \exp \left\{ \boldsymbol{\theta}^T \Sigma^{-1}(\mathbf{x} - \boldsymbol{\mu}) - \frac{1}{2} \boldsymbol{\theta}^T \Sigma^{-1} \boldsymbol{\theta} \right\}$$

Normaliser le vecteur $\mathbf{x} = CC^T$

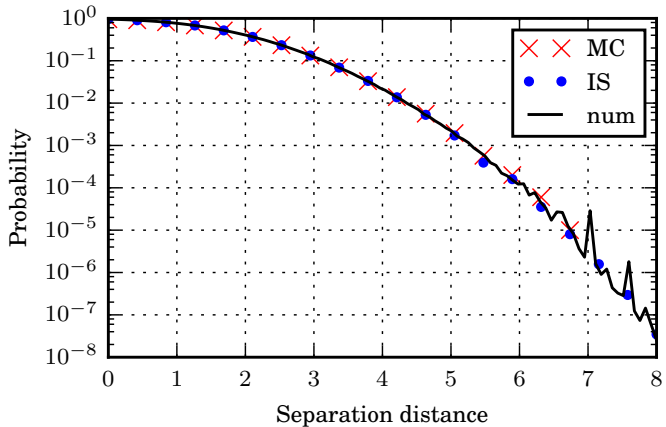
$$\mathbb{E}(f(\mathbf{x})) = \mathbb{E}(f(CG)) = \mathbb{E}(f(C(G + \boldsymbol{\theta}))e^{\boldsymbol{\theta} \cdot G - \frac{1}{2} \boldsymbol{\theta}^T \boldsymbol{\theta}})$$

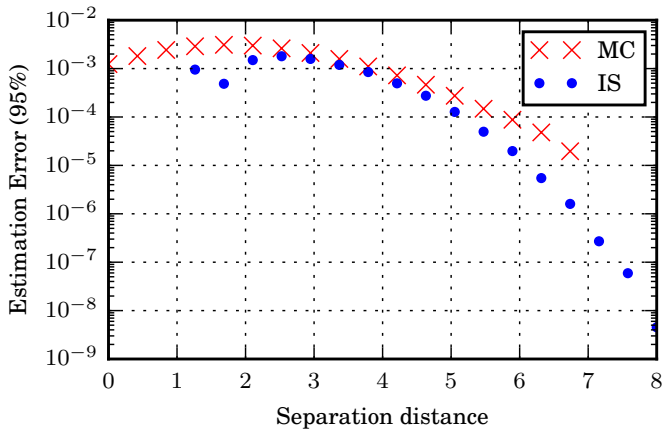
Choix du $\boldsymbol{\theta}$

Méthode adaptative

Comparaison entre Importance Sampling Monte Carlo et la Méthode Numérique

Comparaison entre Importance Sampling Monte Carlo et la Méthode Numérique





Calcul par méthode Constante

Dist	Probability	Error	Rel Err	N	μ
4.0	3.85×10^{-52}	7.09×10^{-52}	183.87%	100	-4.0
4.0	2.46×10^{-44}	2.76×10^{-44}	111.94%	1000	-4.0
4.0	5.85×10^{-38}	1.08×10^{-37}	185.35%	100000	-4.0
6.0	1.20×10^{-121}	2.15×10^{-121}	178.07%	100	-6.0
6.0	1.19×10^{-112}	1.32×10^{-112}	111.04%	1000	-6.0
6.0	7.34×10^{-100}	1.14×10^{-99}	155.16%	100000	-6.0
8.0	3.05×10^{-161}	4.00×10^{-161}	131.25%	100	-6.7
8.0	5.25×10^{-144}	1.01×10^{-143}	193.84%	1000	-6.7
8.0	5.67×10^{-155}	9.30×10^{-155}	164.03%	100000	-7.1

Calcul par méthode Linéaire

Dist	Probability	Error	Rel Err	N	mu
4.0	1.33×10^{-2}	5.29×10^{-3}	39.93%	100	-4.000
4.0	1.14×10^{-2}	2.17×10^{-3}	19.02%	1000	-4.000
4.0	2.04×10^{-2}	5.60×10^{-4}	2.74%	100000	-1.263
6.0	2.43×10^{-5}	1.10×10^{-5}	45.15%	100	-6.000
6.0	4.14×10^{-5}	1.03×10^{-5}	24.90%	1000	-5.053
6.0	9.22×10^{-5}	8.28×10^{-6}	8.98%	100000	-3.789
8.0	8.87×10^{-9}	5.06×10^{-9}	57.10%	100	-7.157
8.0	1.68×10^{-8}	6.23×10^{-9}	37.00%	1000	-7.157
8.0	4.72×10^{-8}	6.92×10^{-9}	14.65%	100000	-6.736

Calcul par méthode Toit

Dist	Probability	Error	Rel Err	N	μ
4.0	7.932×10^{-3}	3.261×10^{-3}	41.10%	100	-3.368
4.0	9.489×10^{-3}	2.379×10^{-3}	25.06%	1000	-4.000
4.0	2.062×10^{-2}	7.153×10^{-4}	3.46%	100000	-0.842
6.0	2.830×10^{-5}	2.013×10^{-5}	71.15%	100	-6.000
6.0	2.143×10^{-5}	6.983×10^{-6}	32.59%	1000	-6.000
6.0	5.763×10^{-5}	6.626×10^{-6}	11.49%	100000	-4.105
8.0	3.881×10^{-9}	2.751×10^{-9}	70.89%	100	-8.0
8.0	5.087×10^{-9}	2.089×10^{-9}	41.06%	1000	-8.0
8.0	1.673×10^{-8}	2.678×10^{-9}	16.00%	100000	-7.578

Distribution conditionnée

Sûreté
aérienne

Simulation à distance 4 avec un échantillon de 10^5 .

Introduction

Résultats

Monte Carlo naïve

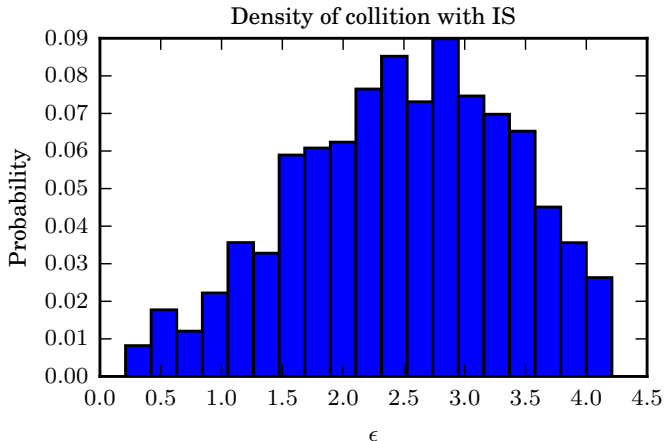
Importance Sampling

Méthode de Splitting

Trajectoires Croisées

Conclusion

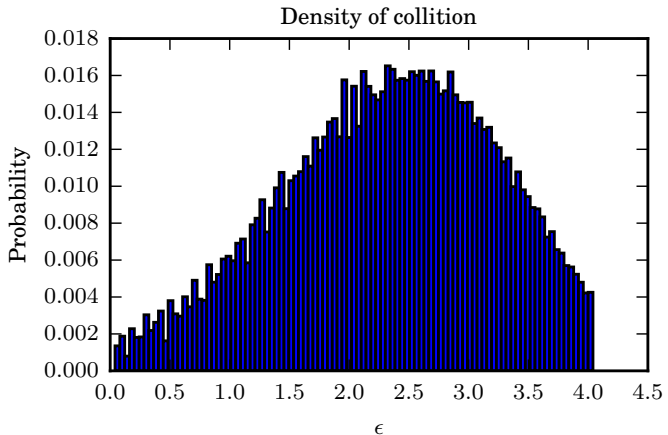
Simulation à distance 4 avec un échantillon de 10^5 .



Distribution conditionnée

Sûreté
aérienne

Simulation à distance 4 avec un échantillon de 10^5 .



Méthode de Splitting

Sûreté
aérienne

Introduction

Résultats

Monte Carlo naïve

Importance Sampling

Méthode de Splitting

Trajectoires Croisées

Conclusion

On souhaite estimer $\mathbb{P}[\varphi(U) \leq \epsilon]$ avec $\varphi(U)$ le plus petit élément de U . On trouve une séquence $\epsilon_k > \dots > \epsilon$ et on calcule

$$\mathbb{P}[\varphi(U) \leq \epsilon] = \mathbb{P}(\varphi(U) \leq \epsilon_1) \prod_{k=2}^m \mathbb{P}(\varphi(U) \leq \epsilon_k | \varphi(U) \leq \epsilon_{k-1})$$

Avoir les probabilités dans un même ordre

Estimer les quantiles empiriques

Méthode de Splitting

Sûreté
aérienne

Introduction

Résultats

Monte Carlo naïve

Importance Sampling

Méthode de Splitting

Trajectoires Croisées

Conclusion

On souhaite estimer $\mathbb{P}[\varphi(U) \leq \epsilon]$ avec $\varphi(U)$ le plus petit élément de U . On trouve une séquence $\epsilon_k > \dots > \epsilon$ et on calcule

$$\mathbb{P}[\varphi(U) \leq \epsilon] = \mathbb{P}(\varphi(U) \leq \epsilon_1) \prod_{k=2}^m \mathbb{P}(\varphi(U) \leq \epsilon_k | \varphi(U) \leq \epsilon_{k-1})$$

Avoir les probabilités dans un même ordre

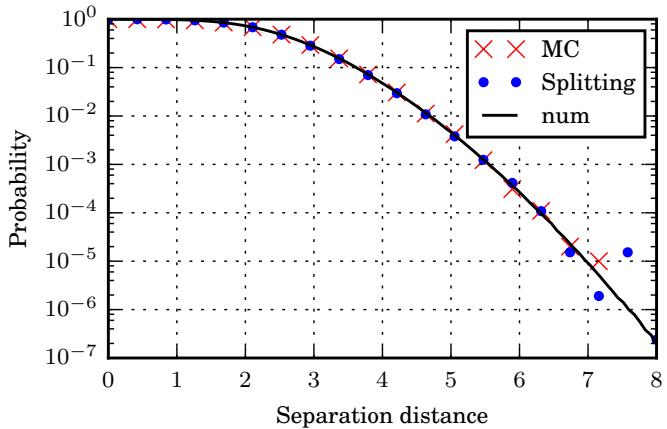
Estimer les quantiles empiriques

On souhaite estimer $\mathbb{P}[\varphi(U) \leq \epsilon]$ avec $\varphi(U)$ le plus petit élément de U . On trouve une séquence $\epsilon_k > \dots > \epsilon$ et on calcule

$$\mathbb{P}[\varphi(U) \leq \epsilon] = \mathbb{P}(\varphi(U) \leq \epsilon_1) \prod_{k=2}^m \mathbb{P}(\varphi(U) \leq \epsilon_k | \varphi(U) \leq \epsilon_{k-1})$$

Avoir les probabilités dans un même ordre

Estimer les quantiles empiriques



Dist	Probability	Error	Rel Err	N
4.0	2.740×10^{-2}	7.058×10^{-3}	34.69%	100
4.0	1.721×10^{-2}	-3.109×10^{-3}	-15.30%	1000
4.0	1.712×10^{-2}	-2.833×10^{-3}	-14.19%	100000
6.0	2.537×10^{-3}	2.430×10^{-3}	2273.42%	100
6.0	2.441×10^{-4}	5.364×10^{-4}	107.40%	1000
6.0	1.221×10^{-3}	-3.332×10^{-5}	3.75%	100000

Modélisation des trajectoires

Rotation des trajectoires

Prendre la différence entre elles $U = (U_x, U_y)$

Estimer $\mathbb{P}(\sqrt{U_x^2 + U_y^2} < \epsilon)$

Modélisation des trajectoires

Rotation des trajectoires

Prendre la différence entre elles $U = (U_x, U_y)$

Estimer $\mathbb{P}(\sqrt{U_x^2 + U_y^2} < \epsilon)$

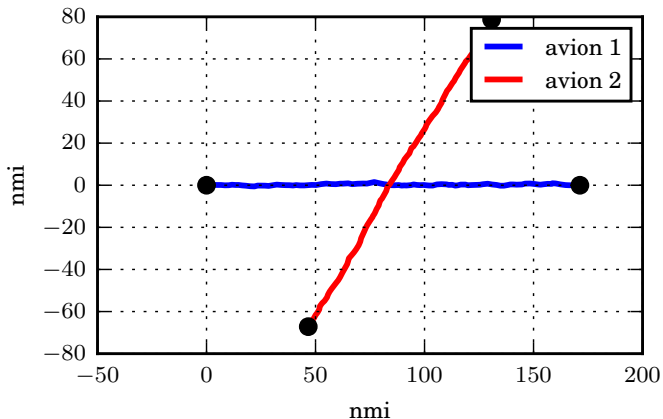
Modélisation des trajectoires

Rotation des trajectoires

Prendre la différence entre elles $U = (U_x, U_y)$

Estimer $\mathbb{P}(\sqrt{U_x^2 + U_y^2} < \epsilon)$

Modélisation des trajectoires



Importance Sampling

Sûreté
aérienne

Résultats

Introduction

Résultats

Monte Carlo naïve

Importance Sampling

Méthode de Splitting

Trajectoires Croisées

Conclusion

Résultats

Probability	Error	Rel Err	N
2.520×10^{-4}	9.620×10^{-5}	38%	100
3.887×10^{-4}	3.227×10^{-5}	8%	1000
6.026×10^{-4}	1.993×10^{-6}	0.33%	100000

Distribution Conditionnelle

Sûreté
aérienne

Introduction

Résultats

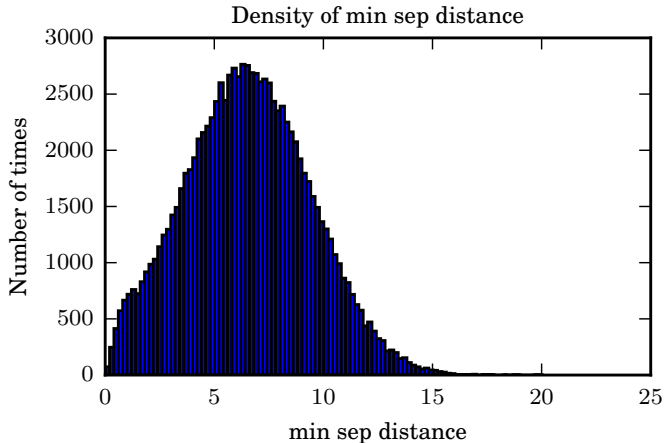
Monte Carlo naïve

Importance Sampling

Méthode de Splitting

Trajectoires Croisées

Conclusion



Distribution Conditionnelle

Sûreté
aérienne

Introduction

Résultats

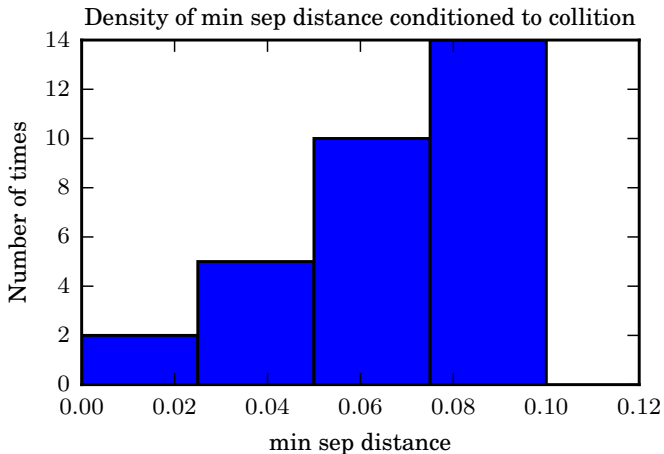
Monte Carlo naïve

Importance Sampling

Méthode de Splitting

Trajectoires Croisées

Conclusion



Méthodes Implémentées

Résultats obtenus

Probabilité estimée

Méthodes Implémentées

Résultats obtenus

Probabilité estimée

Méthodes Implémentées

Résultats obtenus

Probabilité estimée

Merci